

京都大学工学部 正員 山田善一
 京都大学大学院 学生員 ○ 中村公信
 京都大学大学院 学生員 島田健一

§1 まえがき

現在有限要素法において応力法は変位法ほど一般的でない。なぜなら変位法が視覚的にも理解しやすい変位を一般座標にとり、その適合条件に基盤を置くのに対し、応力法では力の釣合を考へしかも力は自己平衡の項と外力項の二つを組み合わせねばならない。そのため、応力場のモデル化は変位場のモデル化ほど簡単ではなく、一般座標と場の parameter との関係は変位法に見られるような正則行列による結合にはならない。

本論文では板振動固有値解析における応力法の手法を説明し、解析結果の一例を厳密解と適合解、非適合解と比較した図を示す。

§2 応力法による固有値解析の原理

板の自由振動の方程式は次式で表わされる。

$$\{L\}^T \{M\} = -\varphi \tag{1}$$

∴ $\{L\}^T = \left\{ \frac{\partial^2}{\partial x^2}, \frac{\partial^2}{\partial y^2}, \frac{\partial^2}{\partial x \partial y} \right\}$, $\{M\}^T = \{M_x, M_y, M_{xy}\}$: moment amplitude, φ : 慣性力の amplitude

このとき complementary kinetic energy: T^* および complementary strain energy: U^* は

$$T^* = \int \frac{1}{2} \rho \omega^2 (\{L\}^T \{M\})^2 dS \quad U^* = \int \frac{1}{2} \{M\}^T [H] \{M\} dS \tag{2}$$

∴ ω : 円振動数 ρ : 板の面密度 dS : 微小面積 D : 板剛度 ν : ポアソン比

$$[H]^{-1} = \frac{1}{D(1-\nu^2)} \begin{bmatrix} 1 & -\nu & 0 \\ -\nu & 1 & 0 \\ 0 & 0 & 2(1+\nu) \end{bmatrix} \text{ : inverse Hooke matrix}$$

微分方程式(1)の解を一般解(自己平衡項): $\{M_0\}$ 特解(外力項): $\{M_e\}$ とすると

$$\begin{aligned} \{L\}^T \{M_0\} &= 0; \{M_0\} = \sum \alpha_i \{S_i\} = [S] \{\alpha\} & \therefore \{M_0\} = [M_0] \{M_0\} = [S] \{T\} \begin{Bmatrix} \alpha \\ \beta \end{Bmatrix} & \equiv [S] \{T\} \{\gamma\} \\ \{L\}^T \{M_e\} &= -\varphi; \{M_e\} = \sum \beta_j \{T_j\} = [T] \{\beta\} \end{aligned} \tag{3}$$

上式中の応力関数 matrix $[S], [T]$ は一般に空間座標の関数としてモデル化される。式(3)式(2)に代

入して $T^* = \frac{1}{2} \omega^2 \{\gamma\}^T [N] \{\gamma\} \quad U^* = \frac{1}{2} \{\gamma\}^T [F] \{\gamma\} \tag{4}$

∴ mobility matrix $[N] = \begin{bmatrix} 0 & 0 \\ 0 & N_{ij} \end{bmatrix} \quad [N_{ij}] = \int \frac{1}{\rho} (\{L\}^T \{T\})^2 dS \tag{5}$

flexibility matrix $[F] = \begin{bmatrix} F_{aa} & F_{ab} \\ F_{ba} & F_{bb} \end{bmatrix} = \int \begin{bmatrix} S^T H^{-1} S & S^T H^{-1} T \\ T^T H^{-1} S & T^T H^{-1} T \end{bmatrix} dS \tag{6}$

さて式(4)により、板の応力場が定義されたので、その $\{M\}$ を用いて個々の有限要素内の種々の応力を表わすことができるわけであるが、そのような応力のうちから適当に有限個の応力(一般には応力場の境界値): $\{\gamma\}^e$ を選ぶことにより、もとの連続分布的応力場 $\{M\}$ を離散的な一般化応力 $\{\gamma\}^e$ により代表させることができる。このとき $\{\gamma\}^e$ は

$$\{\gamma\}^e = [C] \{\gamma\} \tag{7}$$

と書くことができる。[C]は load connection matrix といい $\{\gamma\}^e$ が指定されたときの座標の値で決まる。

さらに $\{\gamma\}^e$ は 自己平衡力 $\{\gamma_0\}^e$ と外力 $\{\gamma_e\}^e$ に分かれ ∴ $\{\gamma\}^e = \{\gamma_0\}^e + \{\gamma_e\}^e$

$$\{q\}^e = \{\beta\} \quad (8)$$

と置く。よって式(7)は次のように分割できる。

$$\{q\}^e = \begin{Bmatrix} q_e \\ q_c \end{Bmatrix} = \begin{bmatrix} C_a & C_b \\ 0 & I \end{bmatrix} \begin{Bmatrix} d \\ \beta \end{Bmatrix} \quad (9)$$

一方 このような一般化応力 $\{q\}^e$ に対応して一般化変位 $\{q\}^e$ が存在する。それらのうちで $\{q_c\}^e$ と $\{q_e\}^e$ との内積は境界応力の potential Q を形成する。すなわち

$$Q = -\{q_c\}^e T \{q_e\}^e \quad (10)$$

よって 最小 complementary potential energy の原理を用いると

$$\delta(T^* - U^* - Q) = 0 \quad (11)$$

よって式(4)(10)を代入して式(9)を用いると

$$\delta \left(\frac{1}{2} \omega^2 \{Y\}^T [N] \{Y\} - \frac{1}{2} \{Y\}^T [F] \{Y\} + \{Y\}^T [C_a \ C_b] \{q_e\}^e \right) = 0 \quad (12)$$

上式は 応力場の parameter $\{Y\}$ に関する変分の問題となり 次式を得る。

$$\frac{1}{\omega^2} [N] \{Y\} - [F] \{Y\} + [C_a \ C_b] \{q_e\}^e = \{0\} \quad (13)$$

よって

$$\frac{1}{\omega^2} [N] \{Y\} = \{q_c\}^e \quad (14)$$

であるから

$$\{q_c\}^e = \{\beta\} = \omega^2 [N]^{-1} \{q_e\}^e \quad (15)$$

上式の構造より考えて $[N]^{-1}$ は要素の mass matrix に相当する。すなわち

$$\begin{Bmatrix} 0 \\ q_c \end{Bmatrix}^e = \omega^2 \begin{bmatrix} 0 & 0 \\ 0 & N_{ii}^{-1} \end{bmatrix} \begin{Bmatrix} q_e \\ q_c \end{Bmatrix}^e \equiv \omega^2 [M] \{q\}^e \quad (16)$$

式(13)に式(14)を代入して

$$[C] \{q\}^e - [F] \{Y\} = \{0\} \quad (17)$$

式(7)(17)より $\{Y\}$ を消去して

$$\{q\}^e = [C][F]^{-1}[C] \{q\}^e \quad (18)$$

上式の構造より考えて $[C][F]^{-1}[C]$ は要素の stiffness matrix に相当する。すなわち

$$\{q\}^e = [k][F]^{-1}[c] \{q\}^e \equiv [K] \{q\}^e \quad (19)$$

よって 要素の釣合方程式は

$$\{q\}^e = \begin{Bmatrix} q_e \\ 0 \end{Bmatrix} + \begin{Bmatrix} 0 \\ q_c \end{Bmatrix} \quad (20)$$

よって式(16)(19)を代入して

$$[K] \{q\}^e = \begin{Bmatrix} q_e \\ 0 \end{Bmatrix} + \omega^2 [M] \{q\}^e \quad (21)$$

系全体の釣合を考えると 上式右辺第1項の総和は自己平衡力の総和であるから 0 となり

$$\sum_e [K] \{q\}^e = \omega^2 \sum_e [M] \{q\}^e \quad (22)$$

よって E の合成を

$$\begin{bmatrix} K_{ee} & K_{ec} \\ K_{ce} & K_{cc} \end{bmatrix} \begin{Bmatrix} q_e \\ q_c \end{Bmatrix} = \omega^2 \begin{bmatrix} 0 & 0 \\ 0 & M_{cc} \end{bmatrix} \begin{Bmatrix} q_e \\ q_c \end{Bmatrix} \quad (23)$$

というように区別して行えば 結局 式(22)の形の固有値問題は

$$([K_{cc}] - [K_{ce}]^T [K_{ee}]^{-1} [K_{ce}]) \{q_c\} = \omega^2 [M_{cc}] \{q_c\} \quad (24)$$

という形に縮小できる。

§3 応力法・平衡三角形要素モデル (EQT)

Fig.1 に示すような三角形 O12 を考える。この斜交座標系 $(x, y; \angle xOy = \alpha)$ における応力 Component は Fig.2 に示すような配置をとる。そこでこの三角形要素の応力場を式(25)にしたがって次のような線形モデルで仮定する。

$$\{M_e\} = \begin{Bmatrix} M_x \\ M_y \\ M_{xy} \end{Bmatrix} = \begin{Bmatrix} \alpha_1 + \alpha_2 \xi + \alpha_3 \eta \\ \alpha_4 + \alpha_5 \xi + \alpha_6 \eta \\ \alpha_7 + \alpha_8 \xi + \alpha_9 \eta \end{Bmatrix} = \begin{bmatrix} 1 & \xi & 0 & 0 & 0 & 0 & 0 \\ 0 & 0 & 0 & 1 & \xi & 0 & 0 \\ 0 & 0 & 0 & 0 & 0 & 0 & 1 \end{bmatrix} \begin{Bmatrix} \alpha_1 \\ \alpha_2 \\ \alpha_3 \\ \alpha_4 \\ \alpha_5 \\ \alpha_6 \\ \alpha_7 \\ \alpha_8 \\ \alpha_9 \end{Bmatrix} \equiv [S]\{\alpha\} \quad (25)$$

$$\xi = (\beta_1 + \beta_2 \xi + \beta_3 \eta) \sin \alpha \quad \Rightarrow \xi = \frac{x}{a} \quad \eta = \frac{y}{b} \quad (26)$$

これにより自己平衡力および慣性力の連続分布が保証される。

また式(3)(26)より考えて $\{M_e\}$ は ξ, η の高々 3 次式であることがわかる。その合計 30 個の未定係数は境界条件「要素の辺上で bending moment: $M_n = 0$, 剪断力: $Q = \text{const.}$ 」によって次のように決定される。

$$\{M_e\} = \begin{Bmatrix} M_x \\ M_y \\ M_{xy} \end{Bmatrix} = \frac{\sin \alpha}{\delta} \begin{bmatrix} a^2(\xi - \xi^2) & \frac{a^2}{2}(\xi^2 - \xi^3) & \frac{a^2}{2}(\xi - \xi^2 - \xi^2 \eta) \\ b^2(\eta - \eta^2) & \frac{b^2}{2}(\eta^2 - \eta^3) & \frac{b^2}{2}(\eta^2 - \eta^3) \\ -ab\xi\eta & -\frac{ab}{2}\xi^2\eta & -\frac{ab}{2}\xi\eta^2 \end{bmatrix} \begin{Bmatrix} \beta_1 \\ \beta_2 \\ \beta_3 \end{Bmatrix} \equiv [T]\{\beta\} \quad (27)$$

次に一般化応力 $\{g_i\}^e$ として次の 15 個の量を選ぶ。(Fig.3 参照)

$$\{g_i\}^e = \left\{ \begin{array}{l} g_1 \sim g_3: \text{辺の両端の twisting moment により節点に生じる corner load} \\ g_4 \sim g_6: \text{1つの辺について2つの Kirchhoff shear load の和} \\ g_7 \sim g_{12}: \text{辺の両端の bending moment} \end{array} \right\} \quad (28)$$

$$\{g_i\}^e: \quad g_{13} = \beta_1 \quad g_{14} = \beta_2 \quad g_{15} = \beta_3$$

$\{g_i\}^e$ に対応した一般化変位 $\{g_i\}^e$ は両者の積がエネルギーの元を成すように定められる。たとえ Fig.3 の M_{01}, M_{10} に対応した一般化変位を ϕ_{01}, ϕ_{10} とすれば辺 01 上の bending moment: $\phi_{n,01}$ が線形であることを利用して次式で与えられる。

$$\phi_{01} = \int_0^a \phi_{n,01} \left(1 - \frac{x}{a}\right) dx \quad \phi_{10} = \int_0^b \phi_{n,01} \frac{x}{a} dx \quad (29)$$

以下 §2 の手順にしたがって $[N], [F], [C], [M]^e, [K]^e$ を求めれば式(24)より固有値が計算できる。

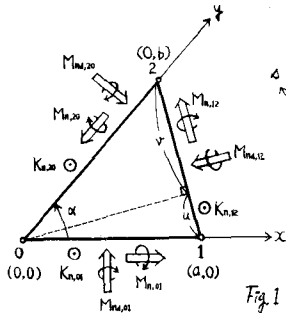


Fig.1

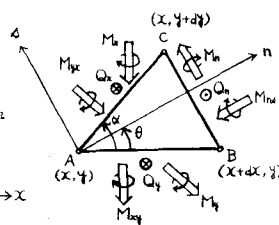


Fig.2

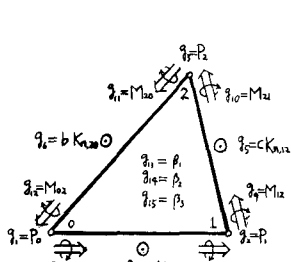


Fig.3

EQT	CQ NCR

Fig.4

§4 数値解析

厚さ一定 一辺 l の均質な正方形板を Fig.4 に示すような mesh に分割して解析を行う。ポアソン比は $\nu = 0.3$ とし固有値はすべて次のような無次元量 λ で表した。

$$\lambda = \rho \omega^2 l^4 / D \quad (30)$$

計算結果の一例を Fig.5, 6, 7 に示す。比較のため適合四辺形要素モデル (CQ), 非適合長方形要素 (NCR) の解もある。最も密網を併記する。図中の横軸 N は自由度を表した。

§5 考察およびおまき

1) 固有値解析においては、一般に、変位法の解が上から正解に近づくのに対し、今回用いたこの応力法では下から近づく。そこでもし、前者の単調減少性、後者の単調増加性が完全に保証されていれば、両者がともに真解の上界および下界を与えるので、正解の存在範囲を不等式で表現することができ、CQによってはその保証が成り立つ。NERではその保証はない。EQTについても保証はないが、今回種々の拘束条件に対して行った数十組の計算結果に於ける限りでは、単調増加性が成り立つと言っても大過はない。

2) EQTでの式(29)の構成より考えて、たまたま用いている拘束条件と課すことがむづかしい。変位法と違ってEQTの一般化変位は、おぼろげに面や面に関する重みつき平均として定義されるので、その場合、節単独の変位は表わしえない。

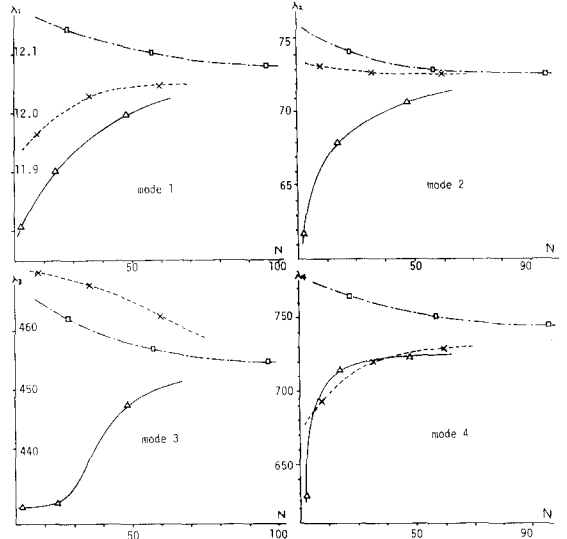
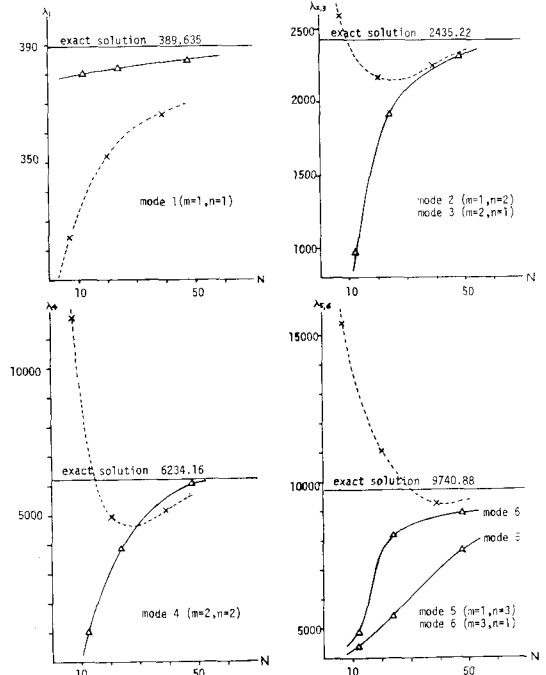
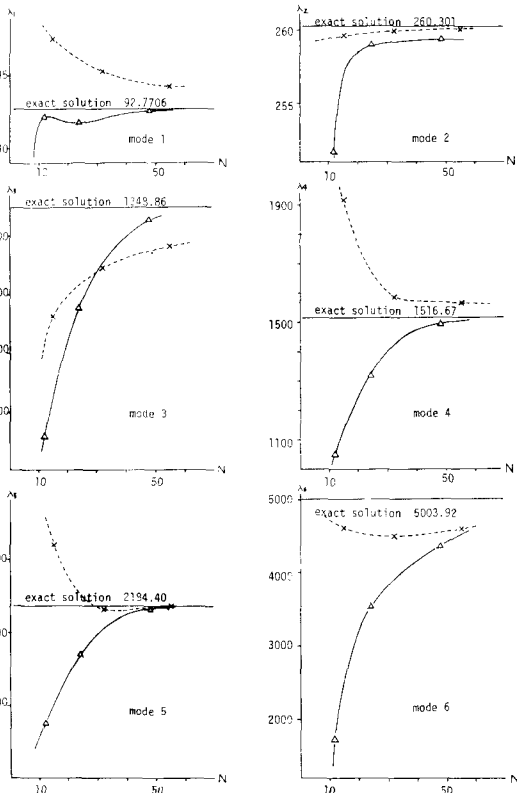
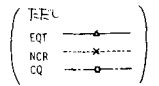


Fig. 5 (上図): 片持5桁

Fig. 6 (左図): 辺単独支持・辺自由桁

Fig. 7 (下図): 辺単独支持桁



References

- M. Geradin; Computational Efficiency of Equilibrium Models in Eigenvalue Analysis. Presented to the Colloquium IOTAM held in Liege, Belgium, August 23-28, 1970
- B. Fraeijls de Veubeke; Displacement and Equilibrium Models in the Finite Element Method. Stress Analysis, edited by D.C. Zienkiewicz, Chapter 9, Wiley, 1965